

# О ЗАДАЧЕ МОДЕЛИРОВАНИЯ СИГНАЛА, ПОЛУЧЕННОГО С ГИДРОЛОКАТОРА БОКОВОГО ОБЗОРА АВТОНОМНОГО НЕОБИТАЕМОГО ПОДВОДНОГО АППАРАТА

А.А. Сущенко

Рассматриваются теоретические проблемы, связанные с измерением акустического сигнала, полученного гидролокатором бокового обзора (ГБО) автономного необитаемого подводного аппарата (АНПА), когда существенное влияние на измеряемый сигнал оказывают рассеивающие свойства морской среды. В рамках кинетической модели, основанной на уравнении переноса акустического излучения, сформулирована прямая задача построения сигнала, полученного с ГБО, и обратная задача - картографирование морского дна по измерениям, полученным с ГБО. Проводится анализ прямой задачи в случае точечной передающей антенны и с учетом однократного рассеяния в среде.

Из множества факторов, влияющих на качество гидролокационного изображения, наиболее существенными, наряду с траекторными нестабильностями движения подводного носителя гидролокационной антенны, являются рассеивающие свойства морской среды, вызванные, например, флуктуациями плотности и коэффициента сжимаемости [1]. В связи с этим при математическом моделировании рассматриваемого процесса представляется важным исследование класса моделей, учитывающих многократное рассеяние акустических волн в случайно-неоднородной среде [2,3]. Существуют два основных подхода к рассмотрению проблемы многократного рассеяния звуковых волн: статистический и феноменологический. При статистическом рассмотрении исходят из стохастических волновых уравнений с последующим усреднением по ансамблю реализаций флуктуирующих полей. При феноменологическом подходе предметом исследования является уравнение переноса, выражающее закон сохранения энергии излучения.

В данной работе мы будем придерживаться феноменологического подхода, основанного на нестационарном интегро-дифференциальном уравнении переноса для плотности распределения звуковых волн с соответствующими граничными и начальными условиями. В рамках этой модели исследуется задача определения отражающих свойств морского дна по измерениям, полученным с носителя ГБО, движущегося с некоторой постоянной скоростью  $V$  вдоль заданной траектории. Получено уравнение для нахождения сигнала и проанализированы его приближения при использовании точечной передающей антенны и при учете однократного рассеяния.

Для простоты будем рассматривать среду  $G$ , совпадающую с пространством  $\mathbf{R}^3$  и состоящую всего из двух зон:  $G_1$  и  $G_2$ . Область  $G_2 = \{\mathbf{r} = (r_1, r_2, r_3) \in \mathbf{R}^3 : r_3 < -l\}$ ,  $l > 0$ , интерпретируется как донная часть океана, а область  $G_1 = \{\mathbf{r} \in \mathbf{R}^3 : r_3 > -l\} \setminus \gamma_a(t)$  - как водная часть за вычетом некоторой поверхности  $\gamma_a(t)$ , на которой размещены излучающая и приемная антенны (см. рис. 1а). Отметим, что пространственное местоположение носителя антенн  $\gamma_a(t)$  зависит от времени.

Распространение акустических волн в случайно-неоднородной среде может быть описано уравнением переноса излучения [4-6]:

$$\left( \frac{1}{v} \frac{\partial}{\partial t} + \mathbf{k} \cdot \nabla_{\mathbf{r}} + \mu(\mathbf{r}, \mathbf{k}) \right) f(\mathbf{r}, \mathbf{k}, t) = \int_{\Omega} \sigma(\mathbf{r}, \mathbf{k}', \mathbf{k}) f(\mathbf{r}, \mathbf{k}', t) d\mathbf{k}', \quad (1)$$

где функция  $f(\mathbf{r}, \mathbf{k}, t)$  интерпретируется как плотность энергии волны в момент времени  $t$  в точке  $\mathbf{r}$ , распространяющейся с волновым вектором  $\mathbf{k}$ . Не нарушая общности рассуждений, можно считать, что волновой вектор  $\mathbf{k}$  принадлежит единичной сфере  $\Omega = \{\mathbf{k} \in \mathbf{R}^3 : |\mathbf{k}| = 1\}$ . Коэффициент  $\mu$ , называемый коэффициентом ослабления, представим в виде

$$\mu(\mathbf{r}, \mathbf{k}) = \mu_a(\mathbf{r}, \mathbf{k}) + \mu_s(\mathbf{r}, \mathbf{k}), \quad \mu_s(\mathbf{r}, \mathbf{k}) = \int_{\Omega} \sigma(\mathbf{r}, \mathbf{k}', \mathbf{k}) d\mathbf{k}',$$

где  $\mu_s, \mu_a$  - коэффициенты рассеяния и поглощения, а функция  $\sigma(\mathbf{r}, \mathbf{k}', \mathbf{k})$  - сечение рассеяния. Величина  $\sigma$  зависит от флуктуаций плотности среды  $\rho(\mathbf{r})$  и ее сжимаемости  $\kappa(\mathbf{r})$ , где  $\mathbf{r} \in G_i$ . Скорость распространения звуковой волны постоянна  $v = 1500 \text{ м/с}$ .

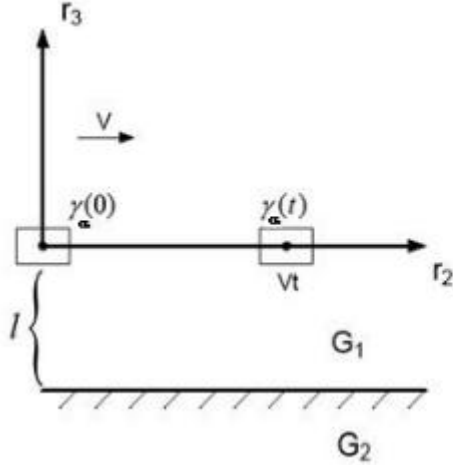


Рис. 1а

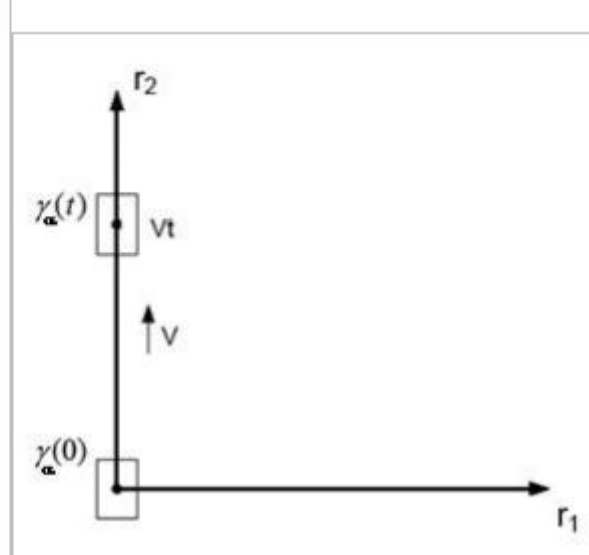


Рис. 1б

В момент времени  $t = 0$  источники звука в среде отсутствуют, то есть начальное условие для функции  $f$  имеет вид

$$f(\mathbf{r}, \mathbf{k}, 0) = 0, \quad (\mathbf{r}, \mathbf{k}) \in G \times \Omega. \quad (2)$$

Будем полагать, что поверхность антенны  $\gamma_a(0)$  представляет собой достаточно малую прямоугольную часть плоскости  $z_2 = 0$ , центр симметрии которой расположен в начале координат (рис. 1а, 1б). Все точки множества  $\gamma_a(t)$  с течением времени перемещаются в пространстве  $\mathbf{R}^3$  с постоянной скоростью  $\mathbf{V} = (0, V, 0)$ , то есть

$$\gamma_a(t) = \{\mathbf{z} + t\mathbf{V}, \mathbf{z} \in \gamma_a(0)\}.$$

На множестве  $\gamma_a(t)$  задаются граничные условия [6]:

$$f^-(\mathbf{z}, \mathbf{k}, t) = h(\mathbf{z}, \mathbf{k}, t), \quad (\mathbf{z}, \mathbf{k}, t) \in \gamma_a(t) \times \Omega \times [0, T], \quad (3)$$

$$\int_{\Omega} S_a(\mathbf{z}, \mathbf{k}) f^+(\mathbf{z}, \mathbf{k}, t) d\mathbf{k} = H(\mathbf{z}, t), \quad (\mathbf{z}, \mathbf{k}, t) \in \gamma_a(t) \times \Omega \times [0, T]. \quad (4)$$

Здесь  $f^{\pm}(\mathbf{z}, \mathbf{k}, t) = \lim_{\varepsilon \rightarrow +0} f(\mathbf{z} \mp \varepsilon \mathbf{k}, \mathbf{k}, t)$ ,  $h(\mathbf{z}, \mathbf{k}, t)$  - плотность энергии передающей антенны,  $H(\mathbf{z}, t)$  - интенсивность на входе приемной антенны и функция  $S_a$  определяет диаграмму направленности приемных антенн, расположенных по обе стороны поверхности  $\gamma_a(t)$ . При  $\mathbf{k} \in \{\mathbf{k} = (k_1, k_2, k_3) \in \Omega : k_1 > 0\}$  функция  $S_a(\mathbf{z}, \mathbf{k})$  определяет диаграмму направленности "по правому борту", а при  $\mathbf{k} \in \{\mathbf{k} = (k_1, k_2, k_3) \in \Omega : k_1 < 0\}$  - "по левому" (см. рис. 1б).

Ограничимся случаем, когда отражающие свойства дна на границе раздела  $\gamma_d = \{\mathbf{z} \in \mathbf{R}^3 : z_3 = -l\}$  определяются диффузным отражением, то есть

$$f^-(\mathbf{z}, \mathbf{k}, t) = \frac{\sigma_d(\mathbf{z})}{4\pi} \int_{\Omega} f^+(\mathbf{z}, \mathbf{k}', t) d\mathbf{k}', \quad \mathbf{z} \in \gamma_d, \quad (5)$$

где функция  $\sigma_d(\mathbf{z})$  является коэффициентом отражения поверхности  $\gamma_d$  и описывает степень неоднородности дна океана. Резкие изменения этой функции могут указывать на наличие искусственных придонных объектов, сильно отличающихся по своим отражающим свойствам от естественного ландшафта дна.

Рассмотрим случай, когда в среде  $G_1$  учитывается только однократное рассеяние и передающая антенна является точечной:

$$h(\mathbf{z}, \mathbf{k}, t) = \frac{\delta(\mathbf{z} - \mathbf{V}t) S_a(\mathbf{z}, \mathbf{k})}{|\mathbf{n}(\mathbf{z}) \cdot \mathbf{k}|} \sum_{i=0}^p \delta(t - t_i), \quad \mathbf{z} \in \gamma_a(t), \quad (6)$$

где  $\delta$  - поверхностная дельта-функция и  $S_a$  - диаграмма направленности передающей антенны. При этих предположениях при  $\mathbf{z} = \mathbf{V}t$  получаем следующее соотношение

$$\tilde{H}(\mathbf{V}t, t) = \tilde{H}_\gamma(\mathbf{V}t, t) + \tilde{H}_G(\mathbf{V}t, t) \quad (7)$$

Здесь  $\tilde{H}_\gamma(\mathbf{V}t, t)$  и  $\tilde{H}_G(\mathbf{V}t, t)$  есть отраженная от дна и однократно рассеянная части принимаемого сигнала в точках траектории носителя антенны  $\gamma_a(t)$ .

Если коэффициент ослабления излучения в среде  $G_1$  постоянен ( $\mu = const$ ), то

$$\tilde{H}_\gamma(\mathbf{V}t, t) = \frac{l}{\pi} \frac{\exp(-\mu vt'_i)}{(vt'_i)^2 |y_1(t'_i, l)|} \sigma_d(y_1(t'_i, l), Vt) \quad (8)$$

$$\tilde{H}_G(\mathbf{V}t, t) = \frac{\sigma}{2\pi} \frac{\exp(-\mu vt'_i)}{vt'_i} \arccos\left(\frac{2l}{(vt'_i)}\right) \quad (9)$$

где  $t'_i = t - t_i$ ,  $y_1(t'_i, l) = \left(\frac{v^2}{4}(t'_i)^2 - l^2\right)^{1/2}$ ,  $\sigma_d \sim 10^{-1}$ ,  $\mu \geq \sigma \sim 10^{-4} \sigma_d$ ,  $V = 1 \text{ м/с}$ ,  $l = 10 \text{ м}$ .



Рис. 1. Моделирование морского дна. ( $\sigma_d(\mathbf{z})$ )

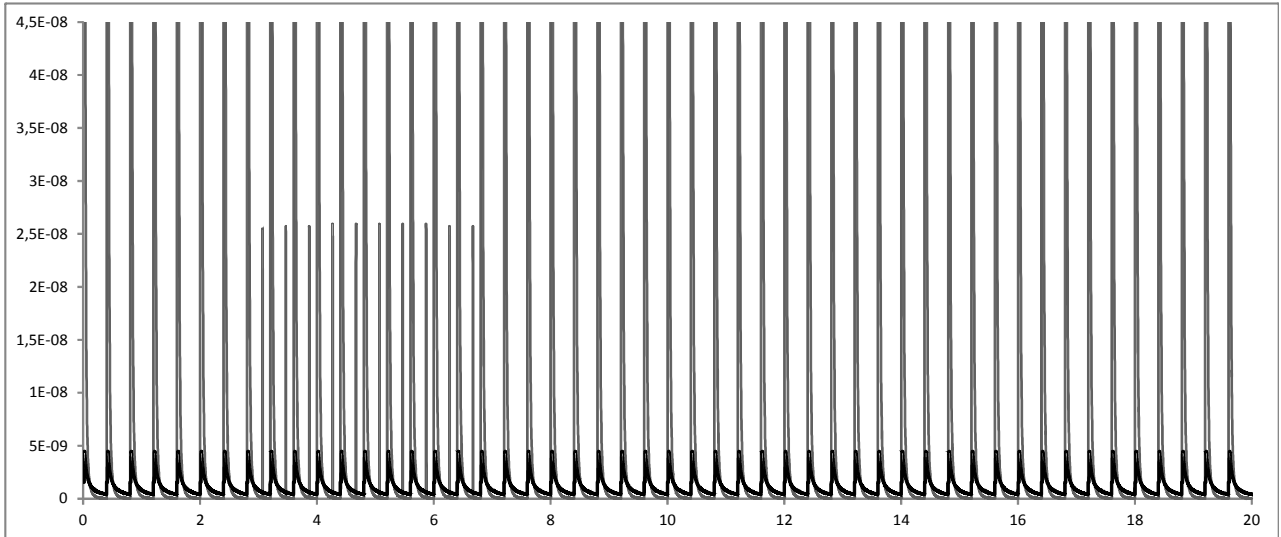


Рис. 2. Сигнал  $\tilde{H}(\mathbf{V}t, t)$ .  $\tilde{H}_\gamma(\mathbf{V}t, t)$  - серая кривая.  $\tilde{H}_G(\mathbf{V}t, t)$  - черная кривая

Для детального исследования принятого сигнала  $\tilde{H}(\mathbf{V}t, t)$  необходимо выбрать узкий промежуток по времени, в том месте, где принятый сигнал соответствует расположению объекта.

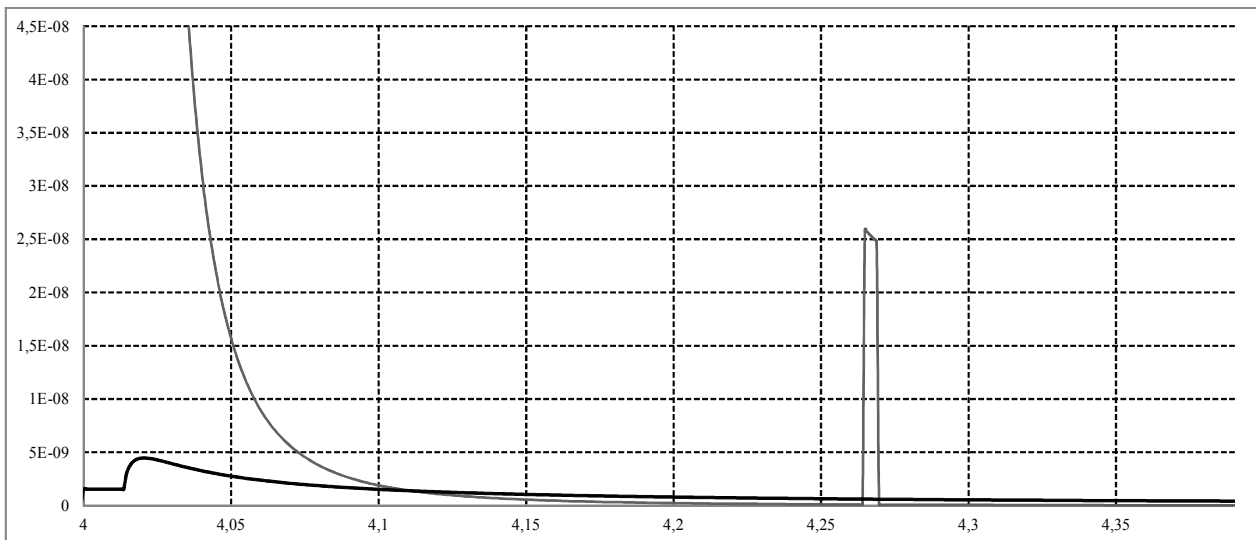


Рис. 3. Фрагмент сигнала. - серая кривая. - черная кривая

Пик на графике  $\tilde{H}_\gamma(Vt, t)$  (Рис. 3) соответствует сигналу, принятому от объекта на Рис.1. Из Рис.3 видно, что большую часть времени рассеянный сигнал больше, чем отраженный. На дальности 300 м рассеянный сигнал превышает отраженный в 13 раз.

Для расчета формул (8), (9) требуются значительные вычислительные ресурсы, т. к. частота дискретизации сигнала зависит от длины измеряемой полосы. К примеру для полосы  $10 * 300$  м<sup>2</sup> необходимо произвести не менее 50000 измерений. При этом для улучшения разрешения изображения морского дна количество измерений необходимо увеличивать. Как правило, за одну съемку гидролокатор проходит расстояние не менее 1 км. Для подобных областей необходимы ресурсоемкие вычисления. Для реализации алгоритма был выбран параллельный подход. Вычисления проводились на кластере ДВФУ, с использованием технологии mpi.

Работа выполнена при финансовой поддержке РФФИ (проект № 11-01-98521) и НОЦ СКТ “Дальний Восток”.

#### ЛИТЕРАТУРА:

1. Матвиенко Ю.В., Воронин В.А., Тарасов С.П., Скарня А.В., Тугунин Е.В., Пути совершенствования гидроакустических технологий обследования морского дна с использованием автономных необитаемых подводных аппаратов //Подводные исследования и робототехника, 2008. Т. 2. № 8. С. 4-15.
2. Исимару А., Распространение и рассеяние волн в случайно - неоднородных средах. М. Мир, 1,2, 1981.
3. Ярошук И.О., Гулин О.Э., Метод статистического моделирования в задачах гидроакустики. Владивосток, Дальнаука, 2002.
4. Bal G., Keller J.B., Papanicolaou G., and Ryzhik L. Transport theory for acoustic waves with reflection and transmission at interfaces // Wave Motion. 1999. Vol. 30. P. 303-327.
5. Bal G. Kinetics of scalar wave fields in random media // Wave Motion. 2005. Vol. 43. P. 132-157.
6. Прохоров И. В., Золотарев В. В., Агафонов И. Б., Задача акустического зондирования во флуктуирующем океане //Дальневосточный математический журнал, 2011. Т. 11. № 1. С. 76–87.